

# **Разработване на МР техники при пациенти след аугментационна мамопластика и онкологична хирургия на гърди съчетана с импланти**

Емил Георгиев

Научен ръководител: доц. д-р Леандър Литов, доц. д-р Галина Кирова

## • Защо МРТ ?

- най-акуратната методика за оценка цялостта на импланта
- добра тъканна разделителна способност
- липса на йонизиращо лъчение
- възможност за едновременно изобразяване на двете гърди
- различни по вид и физичен произход секвенции
- протокол с висока пространствена разделителна способност, високо SNR и приемлив контраст в образа
- чувствителност на метода 80-90%
- специфичност 90%

Breast MRI: guidelines from the European Society of Breast Imaging  
R. M. Mann, C. K. Kuhl, K. Kinkel,C. Boetes

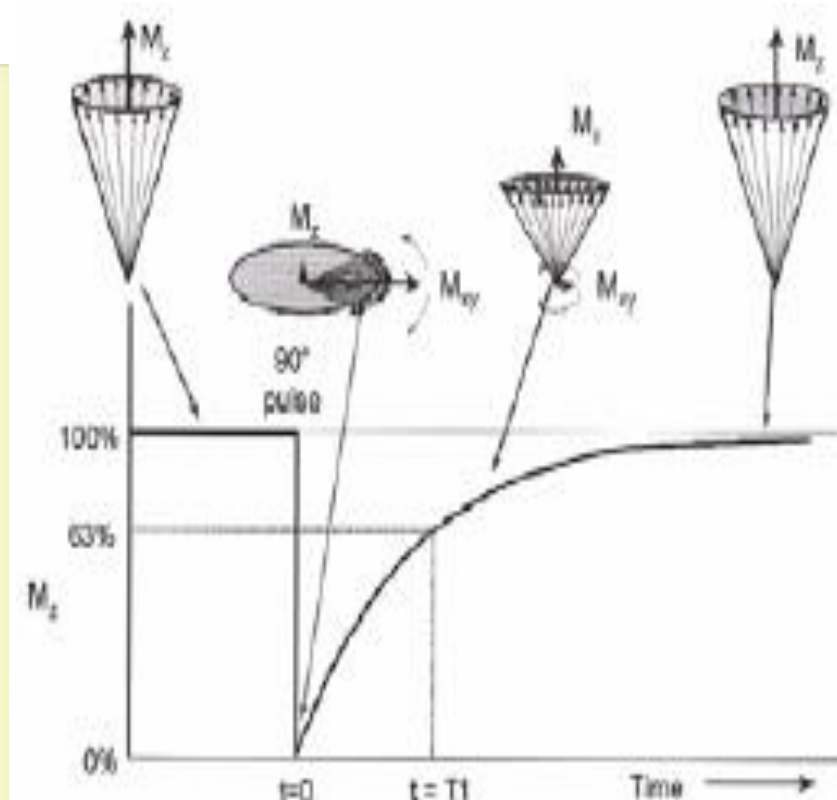
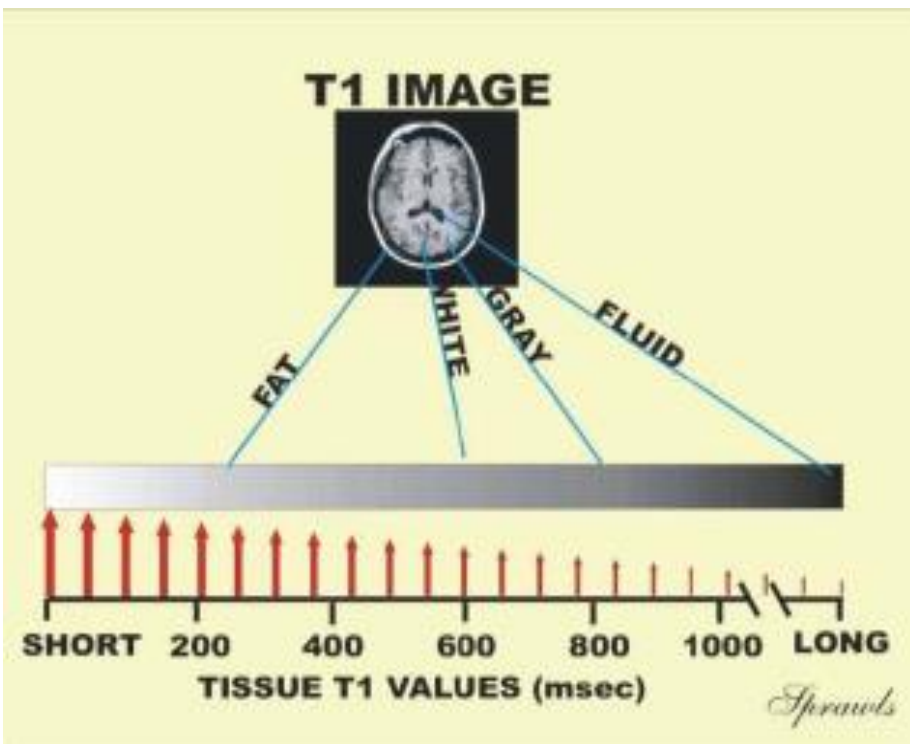
- Десет години след имплантирането, около 50% от имплантите руптурират (локално възпаление, формиране на силиконови грануломи)
- При пациенти за изключване на руптура на импланта, доказване на силиконова екстравазация
- При пациенти с импланти и предходен карцином на гърдата – МР оценка съспектция за рецидив или като постоперативна скринингова методика

Breast MRI: guidelines from the European Society of Breast Imaging  
R. M. Mann, C. K. Kuhl, K. Kinkel,C. Boetes

- Магнитно-резонансен контраст:
  - Диагностичен образ – сигнали от протоните в голям брой voxeli в тъканите
  - Разпределение в изследваната равнина (Ax, Sag, Cor)
  - Различни стойности в различни биологични тъкани

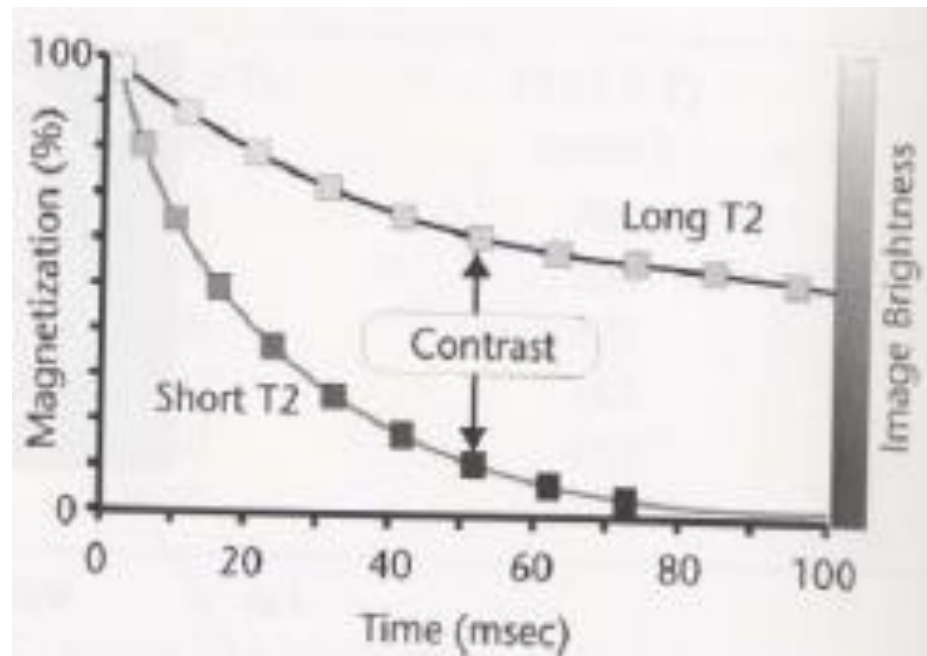
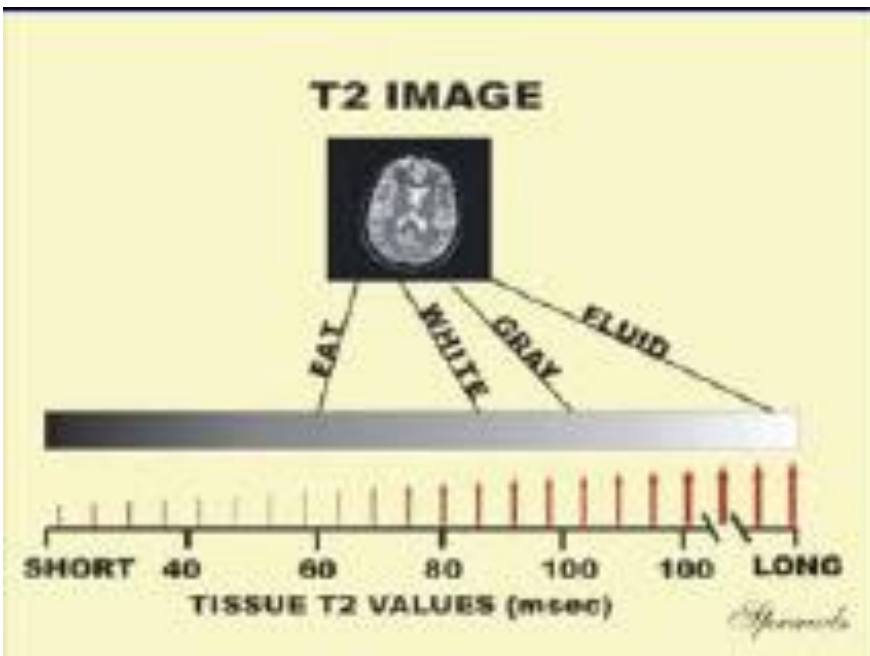


## ❖ Време на релаксация T1

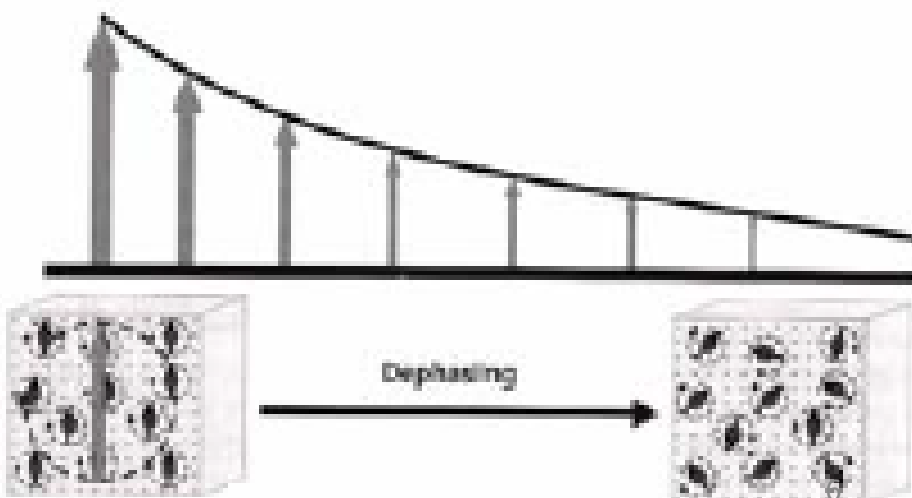


Биологична тъкан	T1, ms при B = 0,5 Т	T1, ms при B = 1,5 Т
Мастна тъкан	210	260
Черен дроб	350	500
Бяло вещество	500	780
Мускулна тъкан	550	870
Сиво вещество	650	920
Гръбначно-мозъчна течност	1800	2400

## ❖ Време на релаксация T2



Биологична тъкан	T2, ms
Мастна тъкан	80
Черен дроб	42
Мускулна тъкан	45
Бяло вещество	90
Сиво вещество	100
Гръбначно-мозъчна течност	160

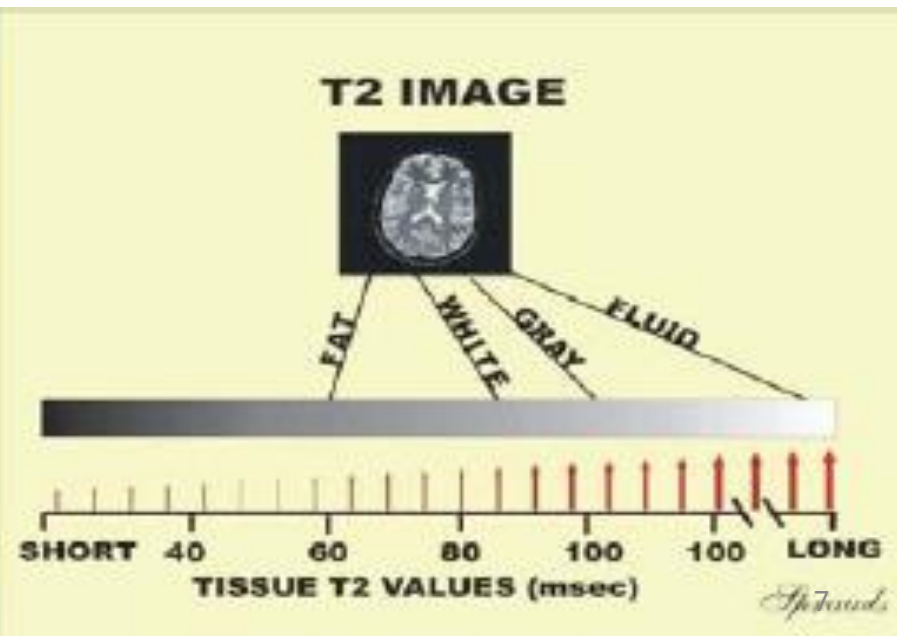
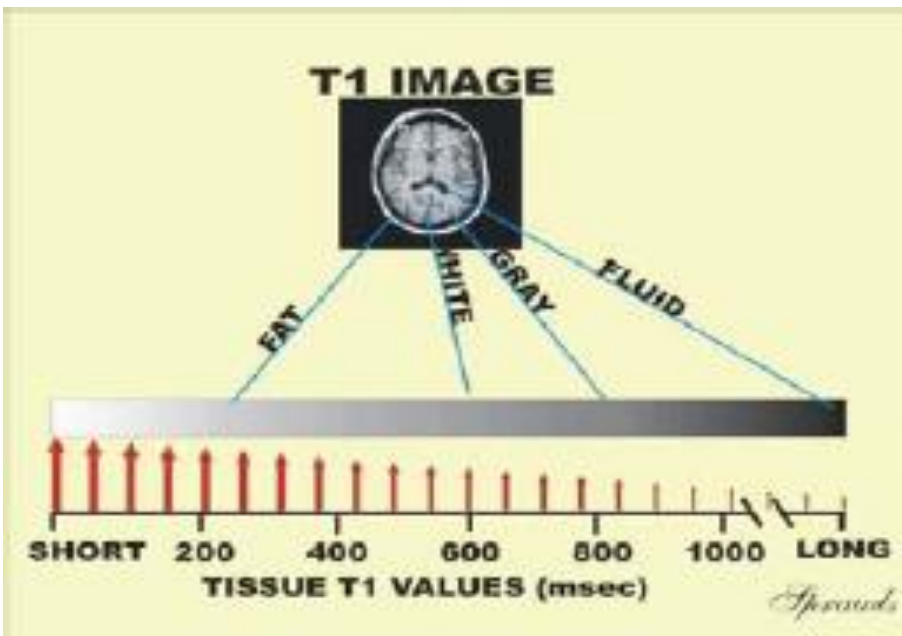


**T<sub>1</sub>** - времето, за което надлъжната намагнитеност  $M_z$  нараства на 63 % от максималната си стойност

**T<sub>2</sub>** - времето, за което напречната намагнитеност  $M_{xy}$  намалява на 37 %.

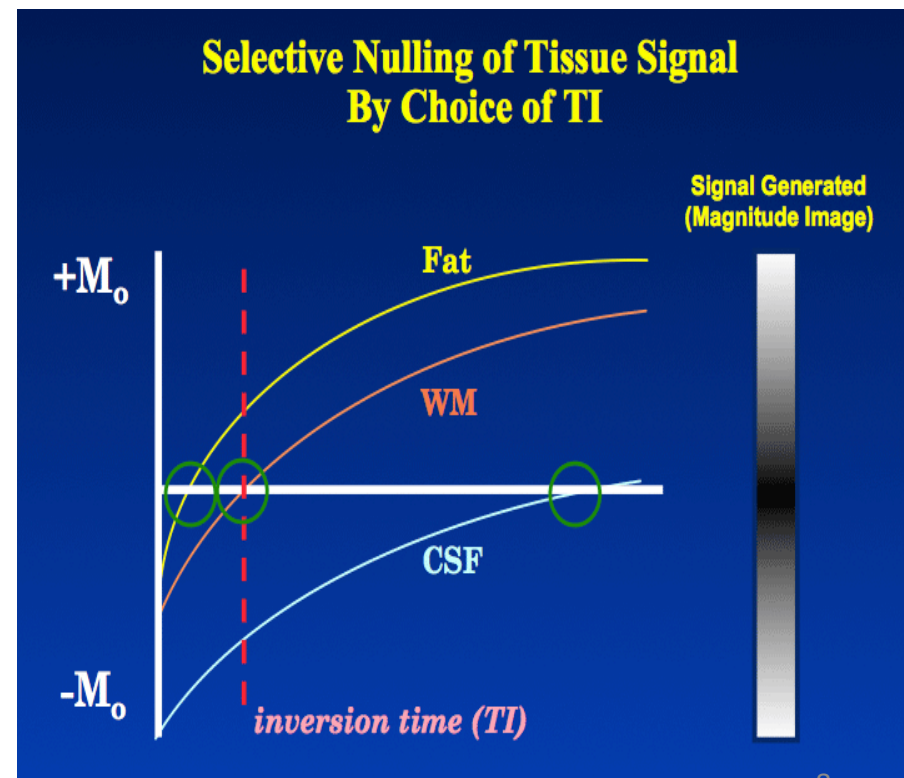
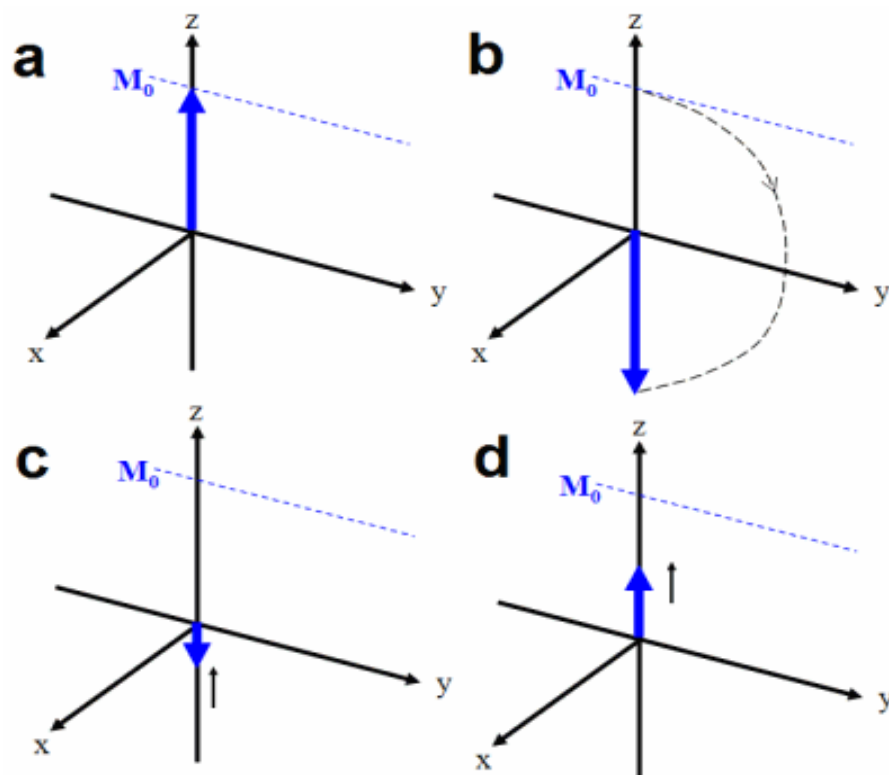
- Тъканите с по-малко T<sub>1</sub> се изобразяват с по-голяма яркост
- Тъканите с по-голямо T<sub>2</sub> се изобразяват с по-голяма яркост

T<sub>1</sub> и T<sub>2</sub> образите са най-често като негатив и позитив



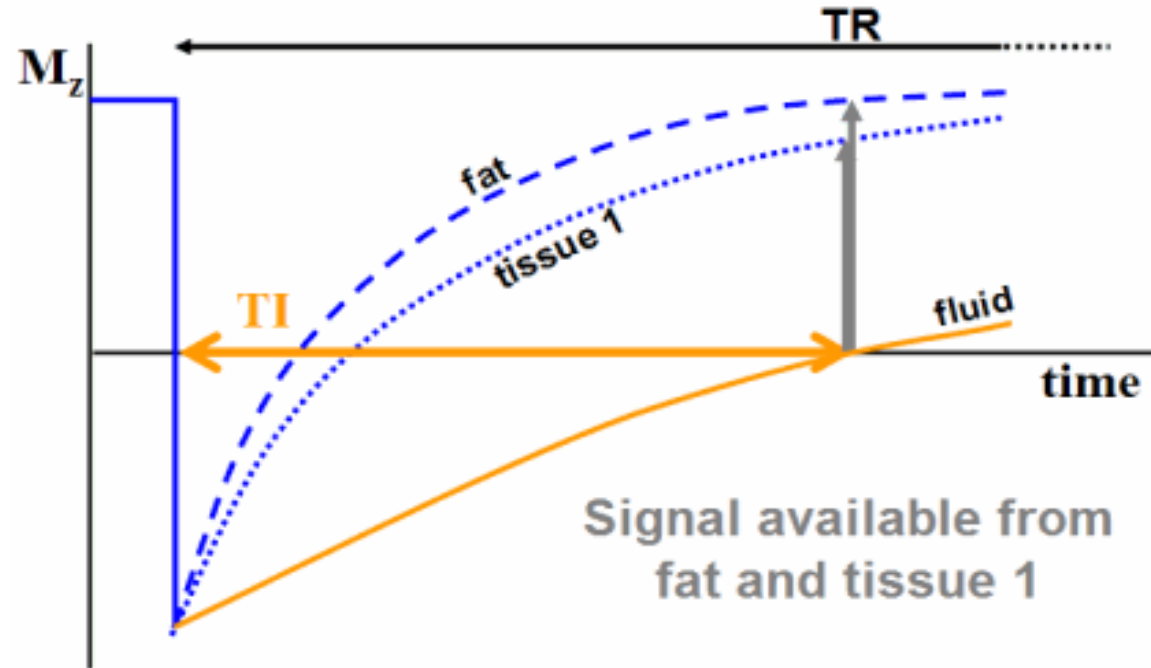
- Секвенция Inversion – Recovery (IR):

- $180^\circ$  RF (инвертира вектора на надлъжната магнетизация)
- нарастване (възстановяване) на  $M_0$  с време на релаксация  $T1$ , минавайки през нулата



- Разновидност на метода – STIR (Short Tau IR)
- Разновидност на метода – FLAIR (Fluid Attenuated IR)

Чрез подходящ избор на TI може да се потисне сигналът на определени тъкани ( $TI = \ln 2 \cdot T1$ )



- Протокол на изследване при пациенти с импланти:

Специфични секвенции за разделна супресия и по-добро разграничение на:

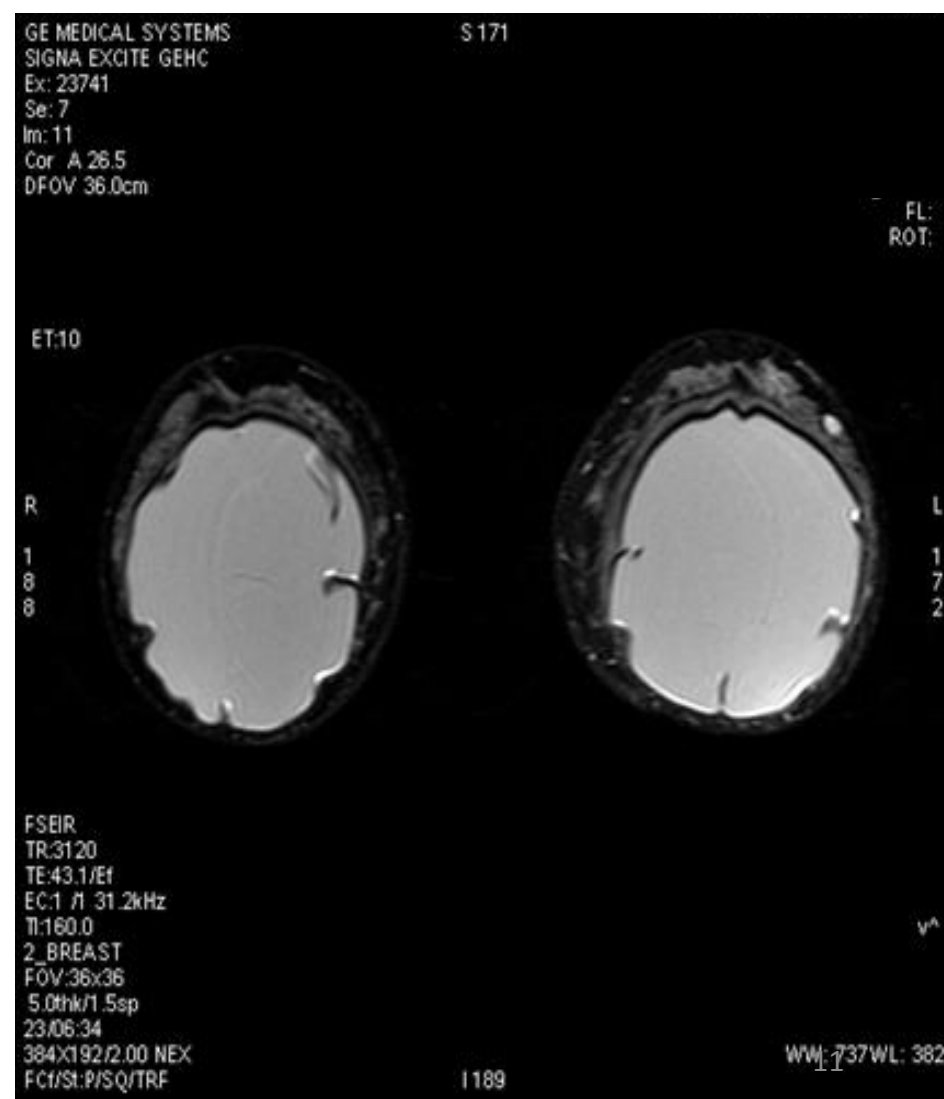
- Мастна тъкан
- Вода
- Силикон

# ➤ Супресия само на мастна тъкан

Ax T2



Cor STIR

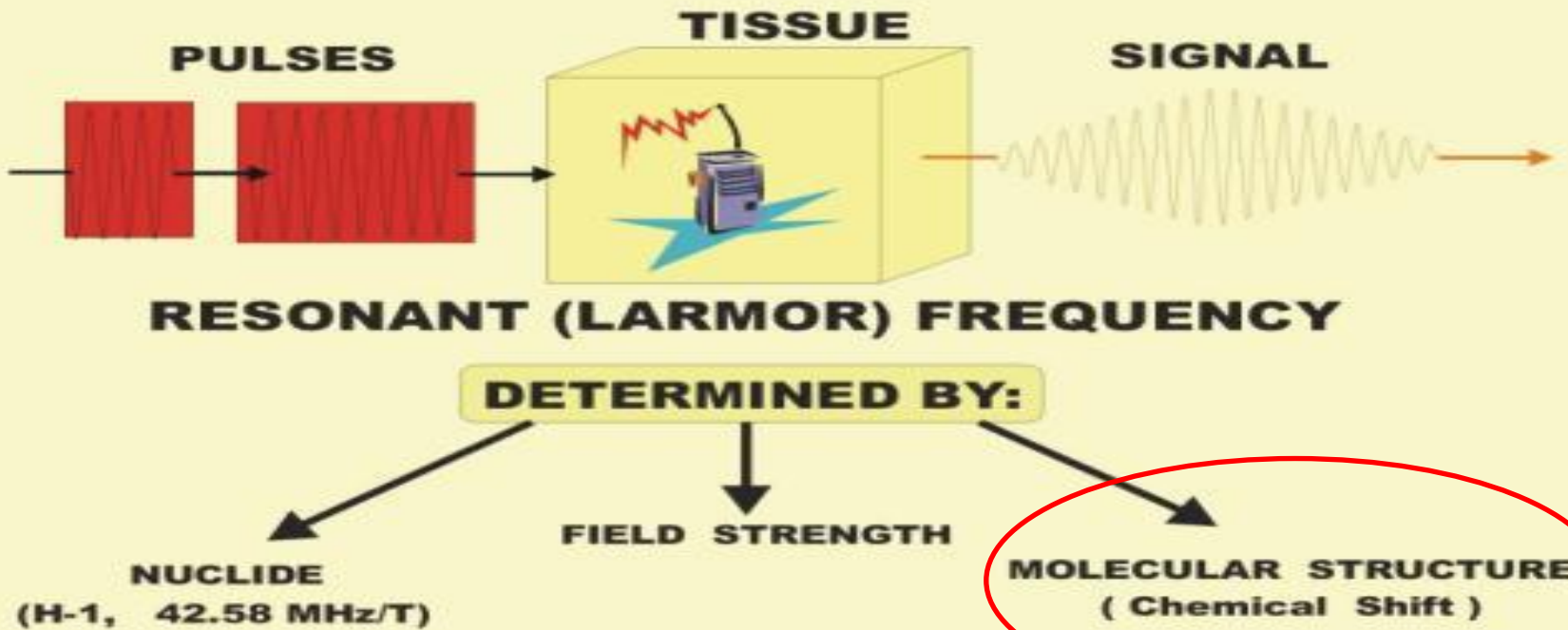


## Клинично значение на STIR:

- + оценка паренхима на двете гърди
- + разграничаване на „белите“ лезии
- + лесна оценка цялостта стената на импланта, поради нискосигналната й характеристика
- трудна оценка при руптура (gel bleeding), поради високият сигнал на силикона и водата
- Дълги времена на аквизиция (дълго TR)

1. Супресия на мастна тъкан + вода ?
  2. Супресия на мастна тъкан + силикон ?
- 

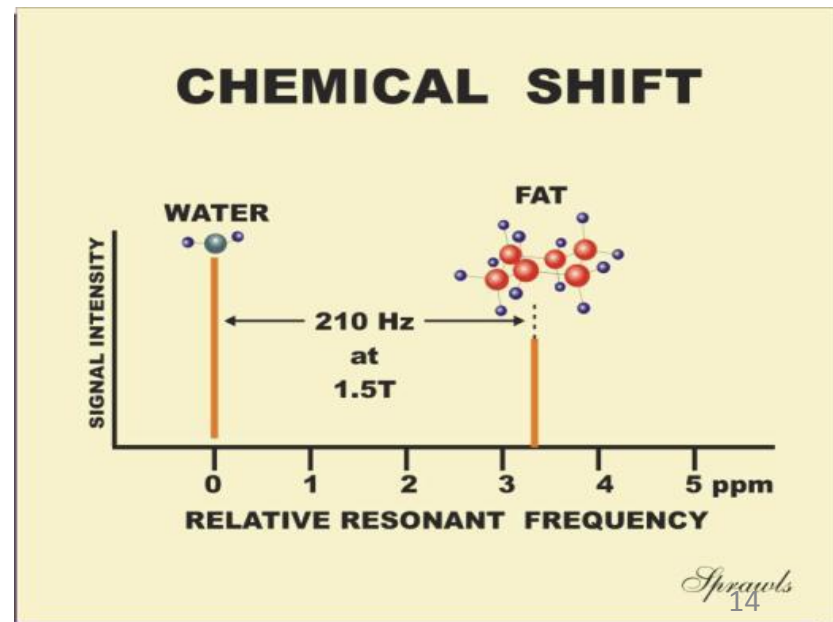
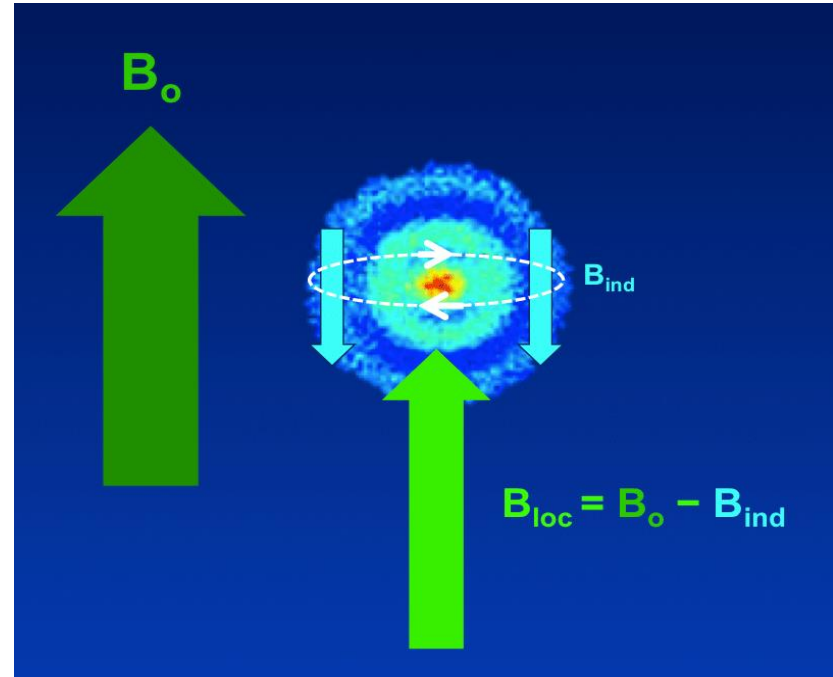
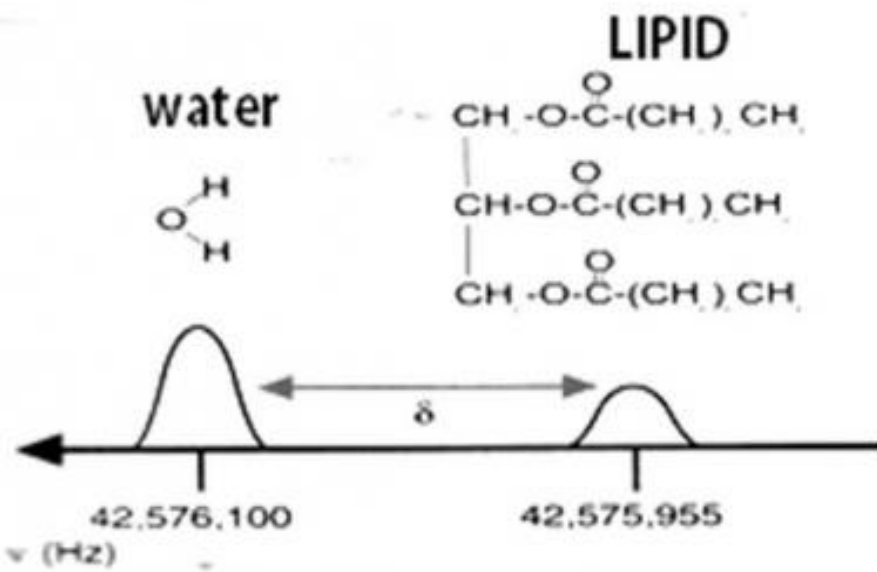
## MAGNETIC RESONANCE



Sprawls

# Химическо отместване

Променя в локалното магнитно поле (честота на резонанс)

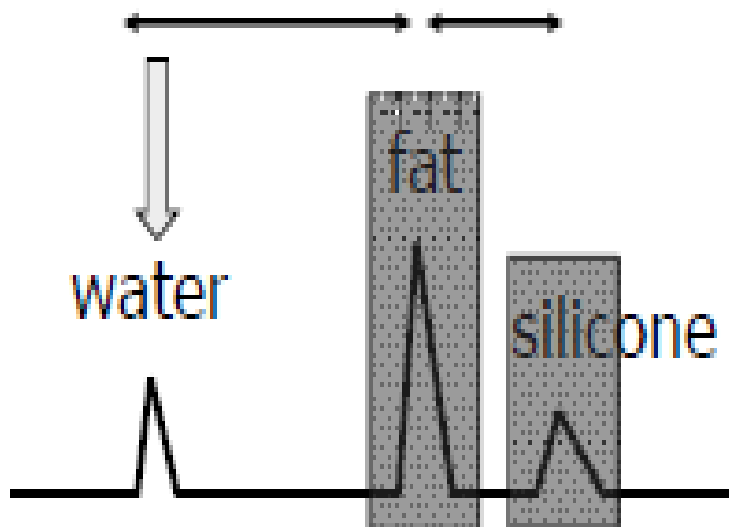


# 1. STIR Water Suppression

- нисък сигнал мастна тъкан и вода
- висок сигнал силикон

$\sim 440$  Hz     $\sim 200$  Hz    3T

$\sim 220$  Hz     $\sim 100$  Hz    1.5T



# 2. STIR Silicon Suppression

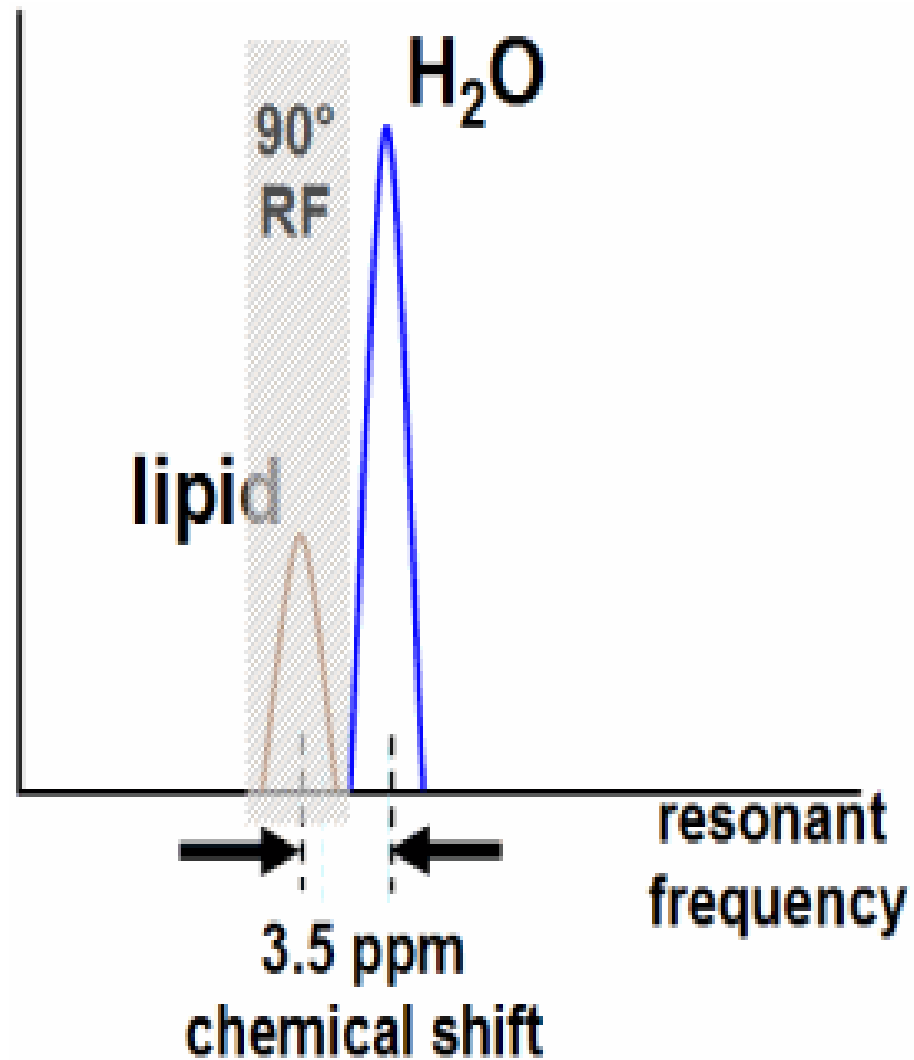
- нисък сигнал мастна тъкан и силикон
- висок сигнал вода

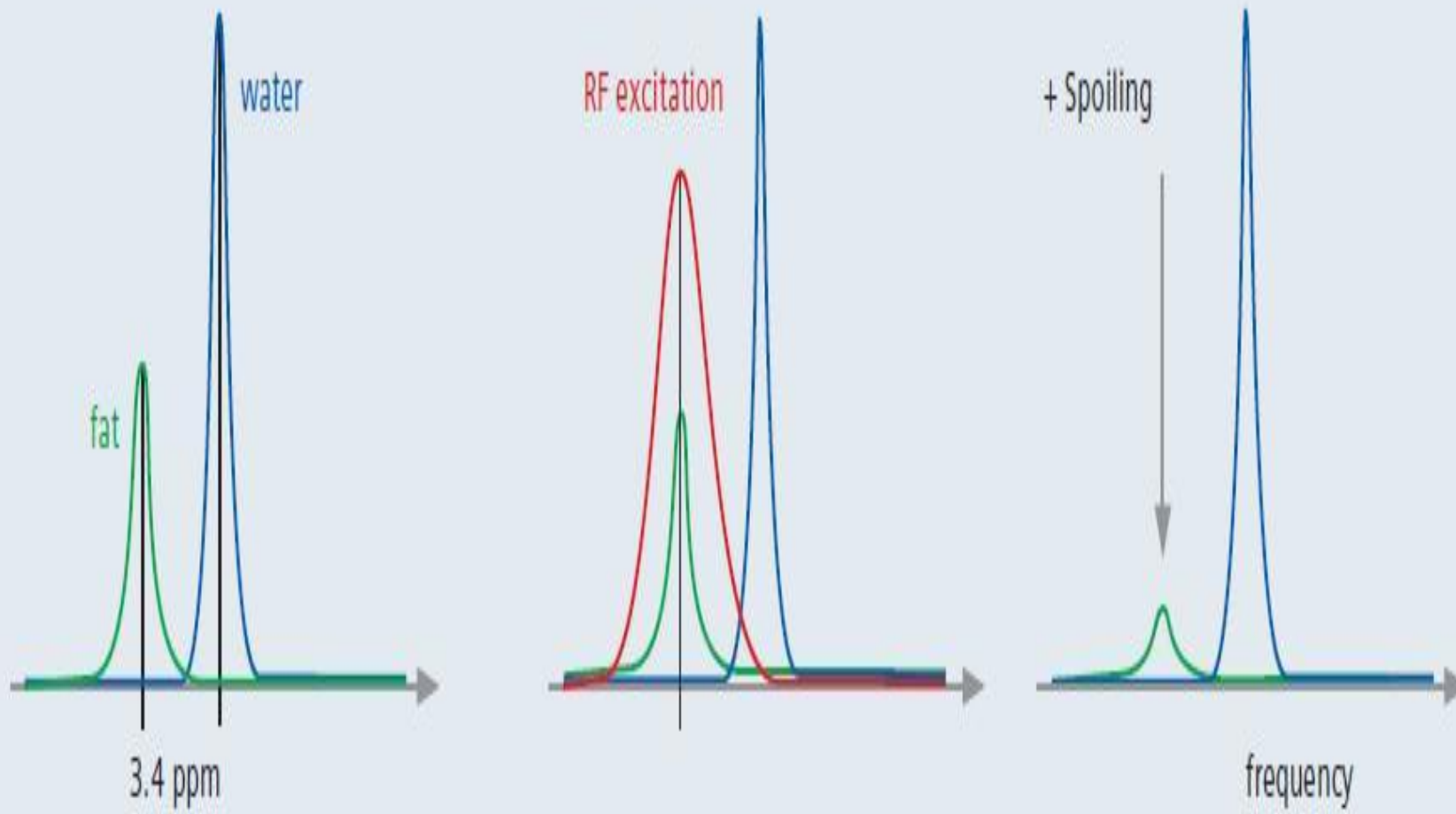
Increasing frequency



## На практика ... селективна сатурация

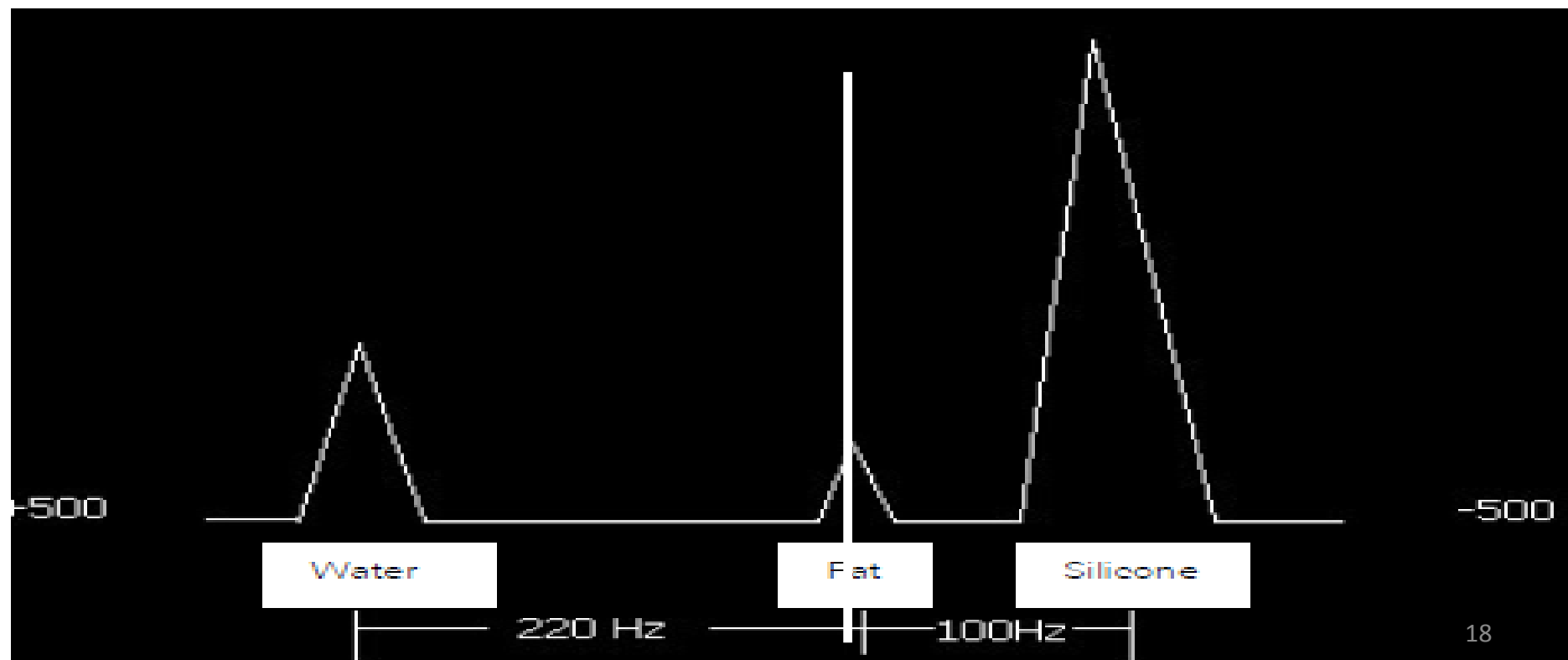
- в секвенцията (STIR) се включва селективен RF импулс, центриран точно върху честотата на резонанс на тъканта
- RF импулс с изместена честота!
- деструкция на надлъжната магнетизация на тъканта



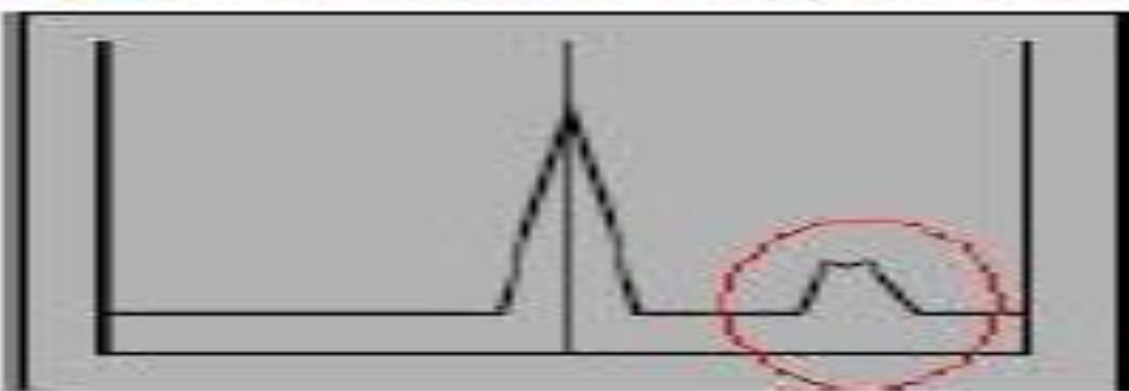


2 Spectral fat saturation.

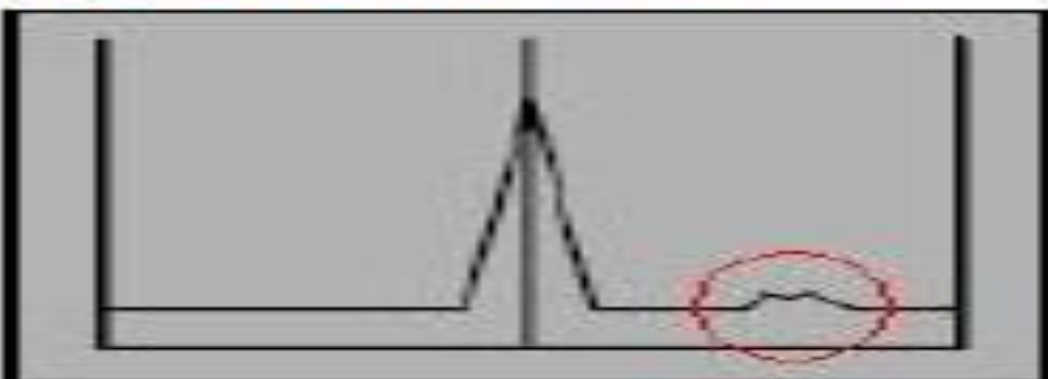
Suppression Technique	Default CF	Frequency shift at 1.5T
Fat saturation	Water peak	-220 Hz
Water saturation	Fat peak	+220 Hz
Silicon saturation (chose water saturation in the protocol)	Fat peak	-100 Hz



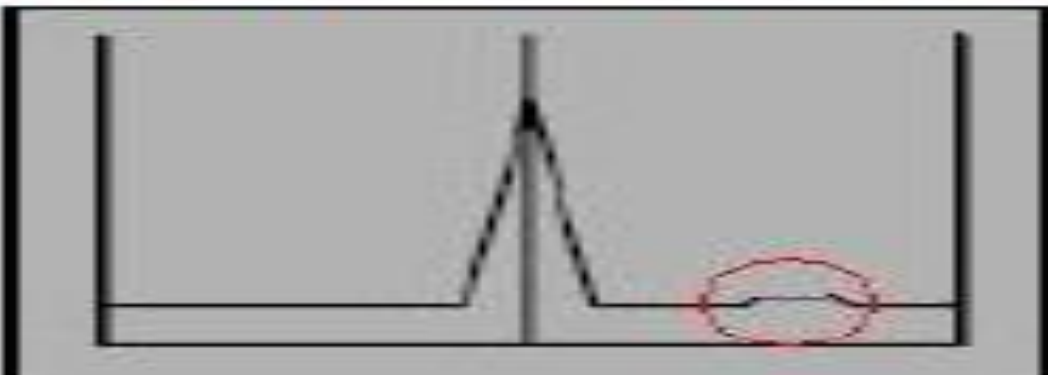
**Figure 19-12:** Poor fat saturation



**Figure 19-13:** Better fat saturation

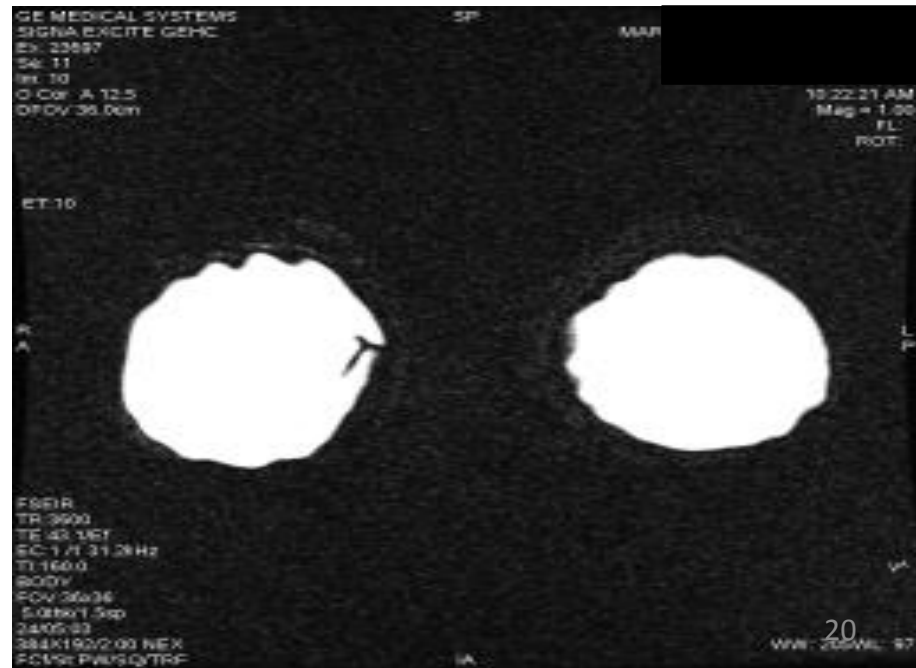
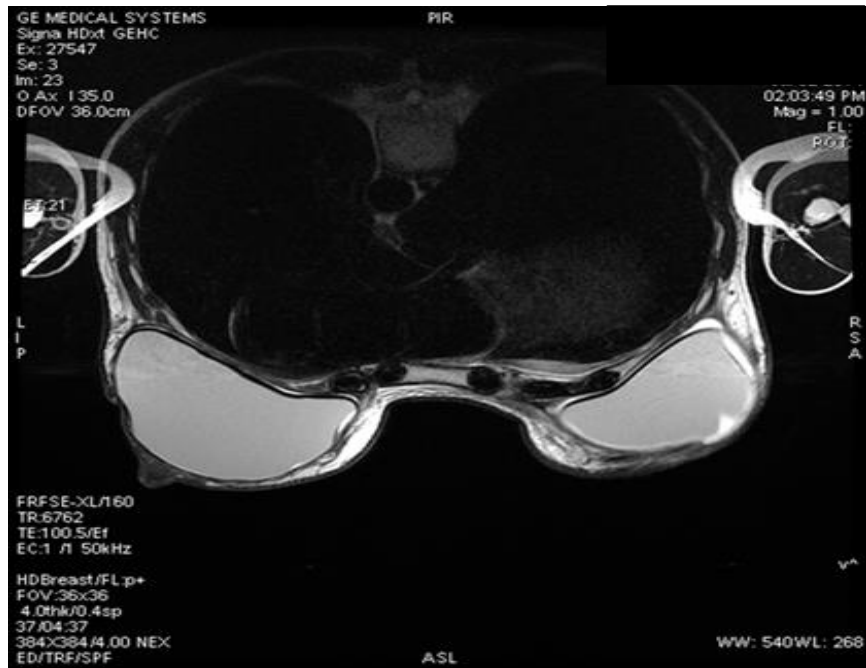


**Figure 19-14:** Fat peak sufficiently suppressed



# STIR WS

- разграничение на силикона от водата
- екзактна оценка на количеството силикон при руптура стената на импланта



# Cor STIR SS

S 208

Ex: 28163  
Se: 11  
Im: 14

Aug 29 2014  
01:49:07 PM

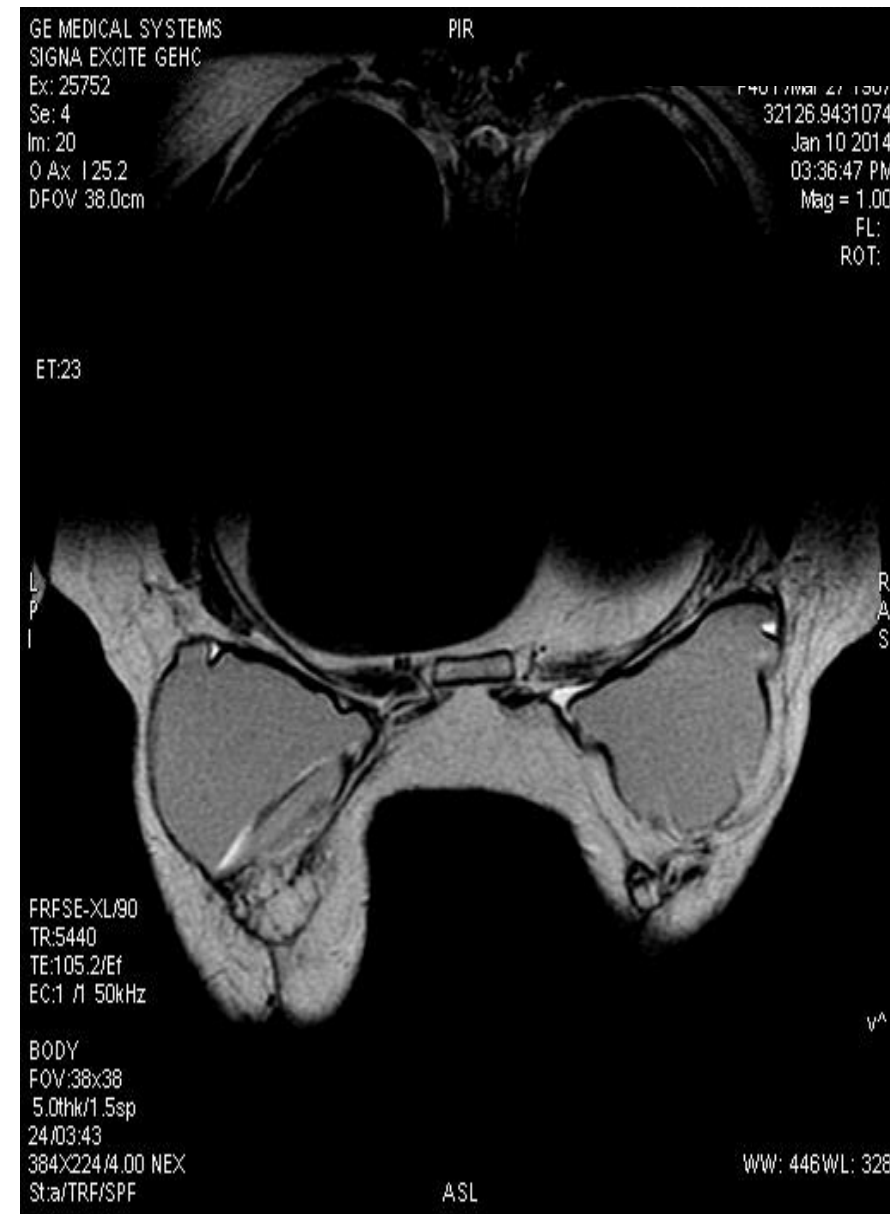
R  
P

L  
A

1152

WW: 666 WL21346

# Ax T2



# Ax STIR SS



## Заключение:

- ✓ Разграничаване на силиконови от несиликонови импланти
- ✓ Определяне по-точно вида и структурата на импланта
- ✓ Избор на протокол в зависимост от материала на импланта с цел избягване на излишни секвенции и удължаване времето на изследване
- ✓ По-точна оценка на промените от процедурата при клинични оплаквания / скрининг
- ✓ Оценка на трудни за диагностициране случаи на руптура, ограничен дефект и др.

- ✓ Разграничаване на свободно инжектирани в паренхима на гърдата филъри (хиалуронова киселина и полиакриламид гел)
- ✓ Езактна оценка на усложненията и отдиференциране руптуриралия гел
- ✓ Оценка на руптура, която е под формата на микроскопична дупка или при повишен пермеабилитет на течния силикон през порите в стената на капсулата
- ✓ Оценка свободни гелни колекции след руптура (силикономи) от др. бенигнени (кисти) и малигнени промени
- ✓ Допълнени с контрастно усилени техники за проследяване на пациентки след онкопластична хирургия за разграничаване на малигнени промени

# БЛАГОДАРЯ ЗА ВНИМАНИЕТО!

